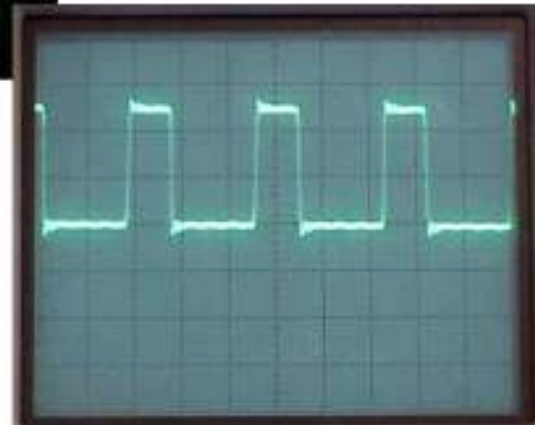
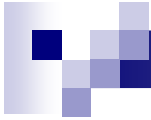


Osciladores no sinusoidales





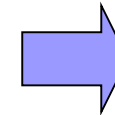
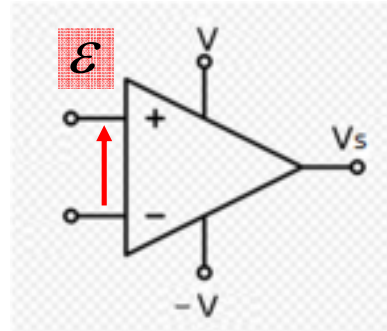
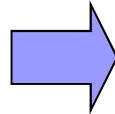
Capacidades de los estudiantes al terminar esta unidad:

- Identificar los componentes y régimen de operación de los osciladores de relajación
- Dimensionar los componentes necesarios para establecer requerimientos de forma de onda, frecuencia y nivel de salida en osciladores de relajación

Osciladores no sinusoidales

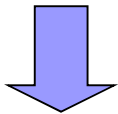
OSCILADORES NO-SINUSOIDALES DE RELAJACION

Dispositivo amplificador:

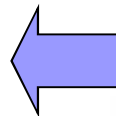


Lo usamos como comparador

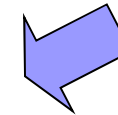
V_s , sólo dos valores posibles



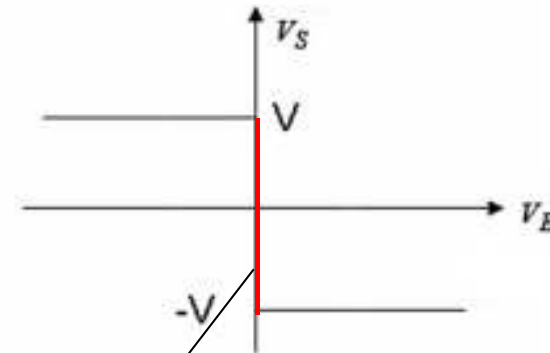
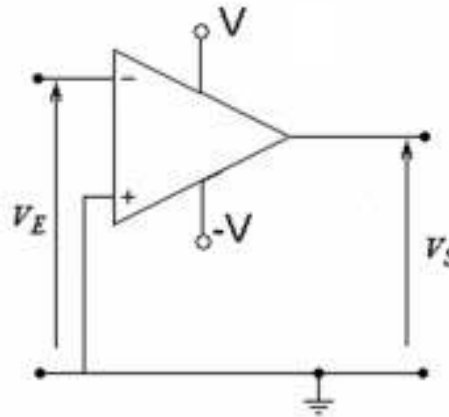
$$\begin{cases} V_s \simeq V & \text{si } \varepsilon > 0 \\ V_s \simeq -V & \text{si } \varepsilon < 0 \end{cases}$$



ε tomará cualquier valor



El circuito externo no provocará realimentación negativa



Importante:
velocidad de
transición
(rise time)

LM339, TL331, LM311...
4V/us (LM741: 0,5V/us)

Comparador de Schmitt

Muchos osciladores de relajación están basados en el comparador regenerativo o *Schmitt trigger*

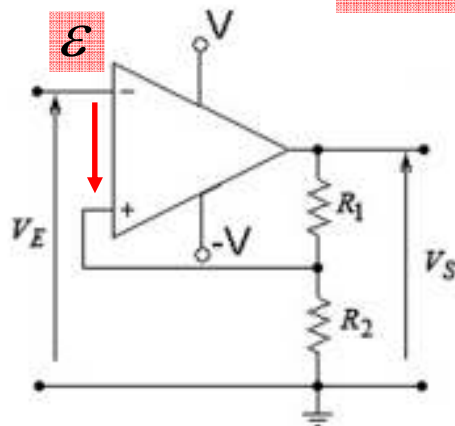
Características del comparador de Schmitt:

- Detecta niveles definidos de señales lentas y genera transiciones abruptas.
- El intervalo de tensión de histéresis es ajustable.
- Genera ondas rectangulares a partir de señales que varían lentamente en el tiempo.

Comparador de Schmitt con referencia cero

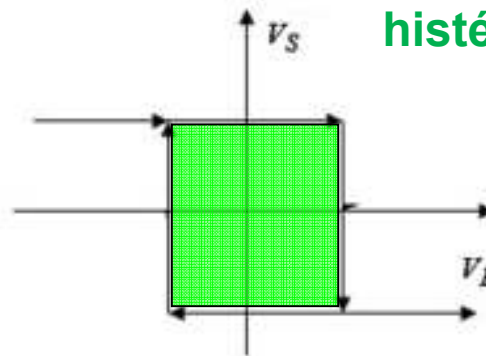
1- Modo Inversor

Con V_E positivos V_S termina siendo negativa (inversor)

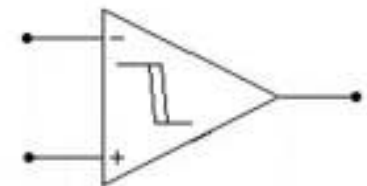


$$\begin{aligned}\varepsilon > 0 &\Rightarrow V_O = V \\ \varepsilon < 0 &\Rightarrow V_O = -V\end{aligned}$$

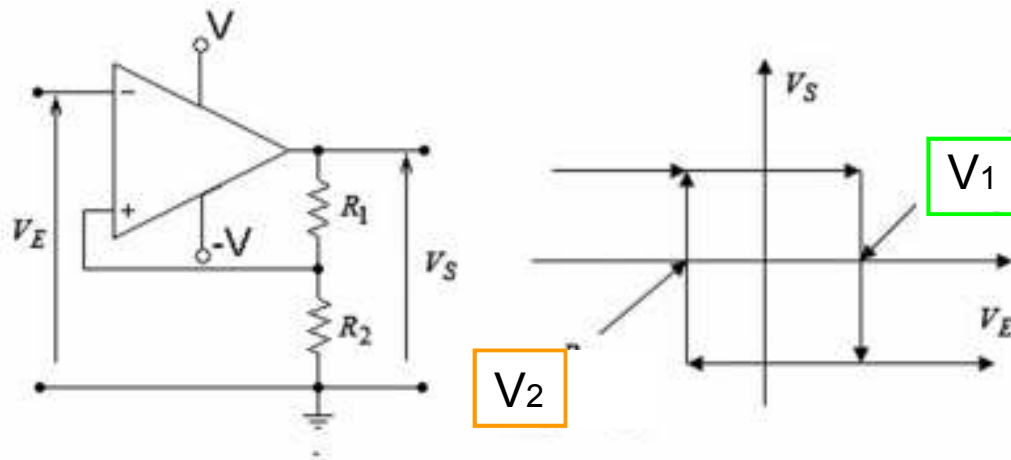
ventana de histéresis



Símbolo del ST

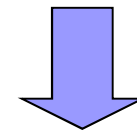


Comparador de Schmitt inversor



a) Cuando $V_S = V$ el umbral de transición es $V_E = V_1$ donde $V_1 = V \frac{R_2}{R_1 + R_2}$

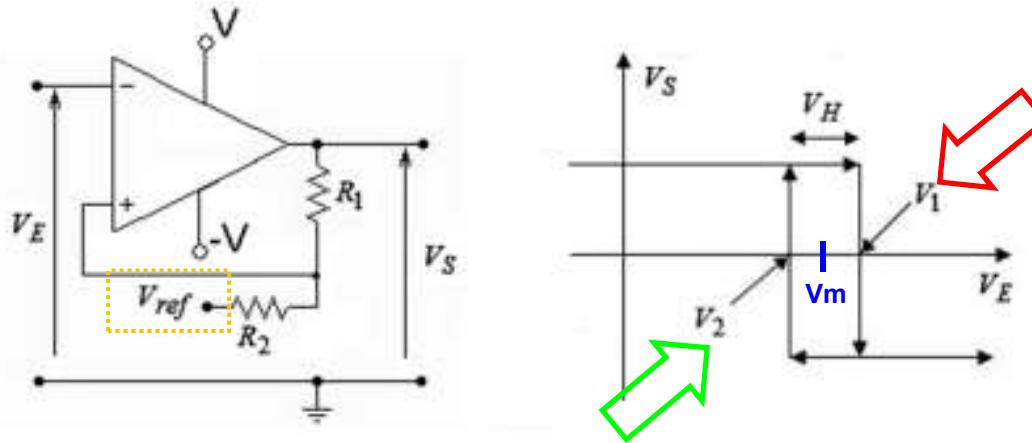
b) Cuando $V_S = -V$ el umbral de transición es $V_E = V_2$ donde $V_2 = -V \frac{R_2}{R_1 + R_2}$



Umbral no es constante como en el comparador a lazo abierto

Comparador de Schmitt inversor con umbral no nulo

Disparador de Schmitt con umbral desplazado



a) Cuando $V_S = V$ ($V_{ref} > 0$) el umbral de cambio es $V_E = V_1$ Donde:

$$V_1 = \frac{V \cdot R_2}{R_1 + R_2} + \frac{V_{ref} \cdot R_1}{R_1 + R_2}$$

b) Cuando $V_S = -V$ ($V_{ref} > 0$) el umbral de cambio es $V_E = V_2$ Donde:

$$V_2 = \frac{-V \cdot R_2}{R_1 + R_2} + \frac{V_{ref} \cdot R_1}{R_1 + R_2}$$

El ancho de la ventana de histéresis $V_H = V_1 - V_2$ puede hacerse mínima con $R_2 \ll R_1$

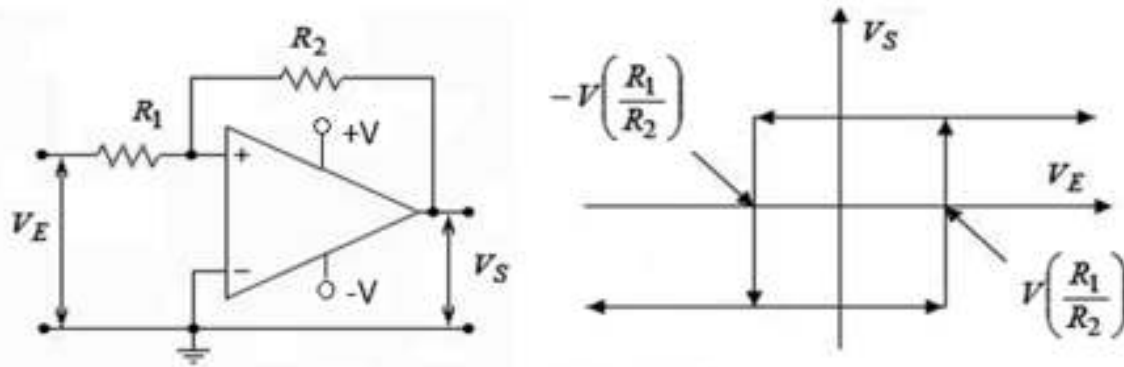
El punto medio de la ventana es:

$$V_m = \frac{V_1 + V_2}{2} = V_{ref} \left(\frac{R_1}{R_1 + R_2} \right)$$

Cuando $V_{ref} < 0$ la ventana se ubica a la izquierda del eje V_S

Comparador de Schmitt **NO** inversor

2-Modo No-Inversor para V_E positivos V_S
termina siendo positiva
(no inversor)

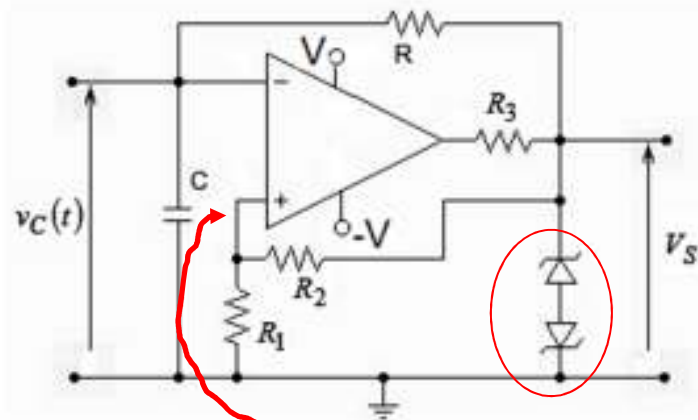


a) Cuando $V_S = V$ la tensión necesaria en V_E para que cambie la salida debe cumplir:
$$\left(\frac{V - V_E}{R_1 + R_2} \right) R_1 + V_E = 0$$

Entonces el umbral de cambio es:
$$V_E = -\frac{R_1}{R_2} V$$

b) Cuando $V_S = -V$ el umbral cambia a:
$$V_E = \frac{R_1}{R_2} V$$

Generador de onda cuadrada



Con los zener me independizo de las V_{OH} y V_{OL} del AO :

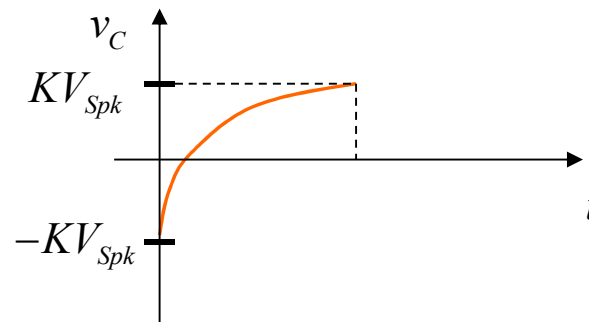
$$V_S = \begin{cases} V_{Spk}^+ = (V_Z + V_d) \\ V_{Spk}^- = -(V_Z + V_d) \end{cases} \quad V_{Spk} = |V_{Spk}^+| = |V_{Spk}^-|$$

Si $V_S = +(V_Z + V_d)$ $V_+ = \frac{(V_Z + V_d) R_1}{R_1 + R_2} = \frac{V_{Spk}^+ R_1}{R_1 + R_2}$ hasta que $V_C(t)$ no llegue a ese valor, V_S seguirá valiendo $V_Z + V_d$

Cuando $v_C = V_C^+ = \frac{V_{Spk}^+ R_1}{R_1 + R_2} = K \cdot V_{Spk} \Rightarrow V_S$ cambia a $-(V_Z + V_d) \Rightarrow V_+$ se hace negativo y C se empieza a descargar hasta que llega al valor:

$$v_C = V_C^- = \frac{R_1}{R_1 + R_2} \cdot V_{Spk}^- = -K \cdot V_{Spk}$$

(valor mínimo de tensión en el C)



Generador de onda cuadrada

La tensión en el capacitor v_C , oscila entre dos valores límites, $\pm K \cdot V_{Spk}$

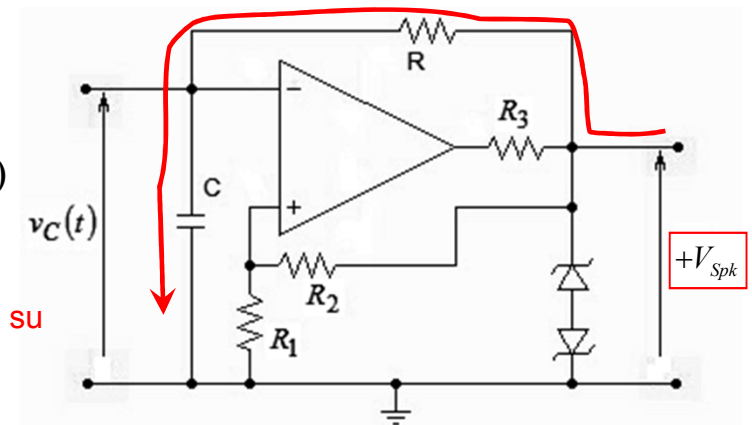
Supongamos que el capacitor está cargado a $-K \cdot V_{Spk}$ y la tensión de salida pasa a V_{Spk}^+

El capacitor comenzará a cargarse a través de R tendiendo hacia el valor $+V_{Spk}$

$$v_C(t) = V_{Spk} - \left[V_{Spk} - (-KV_{Spk}) \right] \cdot e^{\frac{-t}{RC}}$$

$$\left\{ \begin{array}{l} v_C(t=0) = V_{Spk} - \left[V_{Spk} - (-KV_{Spk}) \right] \cdot e^{\frac{-t}{RC}} = -KV_{Spk} \text{ (valor inicial)} \\ v_C(t=\infty) = V_{Spk} - \left[V_{Spk} - (-KV_{Spk}) \right] \cdot e^{\frac{-t}{RC}} = V_{Spk} \end{array} \right.$$

✓ Valor final si el OPA no cambiara su salida



Pero cuando v_C llega a $+KV_{Spk}$ el OPA conmuta nuevamente a $-V_{Spk}$

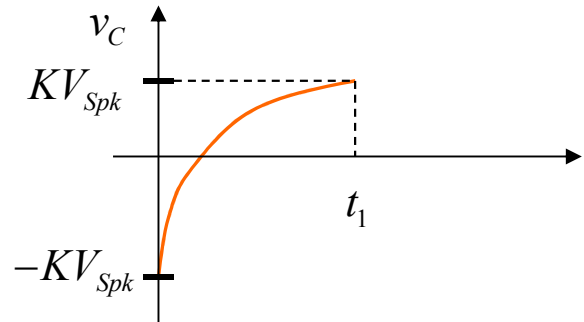
¿Cuanto tarda en llegar desde $-KV_{Spk}$ a KV_{Spk} ?

Generador de onda cuadrada

Considerando que el tiempo total de carga del capacitor será t_1 , al finalizar éste, la tensión habrá pasado de $v_C(0) = -KV_{Spk}$

a $v_C(t_1) = KV_{Spk}$, tensión a la que se produce la nueva conmutación

$$v_C(t_1) = V_{Spk} - [V_{Spk} + KV_{Spk}] \cdot e^{-\frac{t_1}{RC}} = KV_{Spk}$$



De ésta podemos despejar t_1

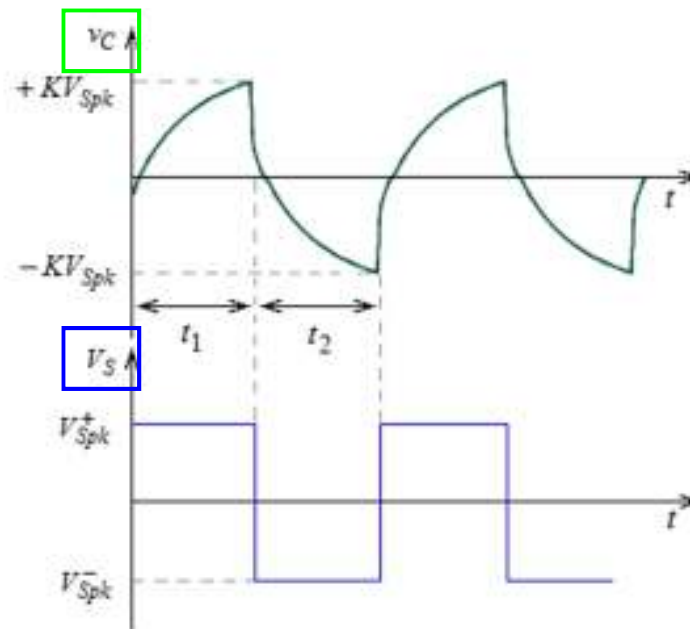
$$t_1 = -RC \ln \frac{(1-K)V_{Spk}}{(1+K)V_{Spk}} = RC \ln \frac{(1+K)}{(1-K)} = RC \ln \left(\frac{1 + \frac{R_1}{R_1 + R_2}}{1 - \frac{R_1}{R_1 + R_2}} \right) = RC \ln \left(\frac{2R_1 + R_2}{R_2} \right) = \boxed{RC \ln \left(1 + \frac{2R_1}{R_2} \right)}$$

Generador de onda cuadrada

Análogamente se calcula el tiempo de descarga, ahora durante el tiempo t_2 la tensión en el capacitor pasará de $(+KV_{Spk})$ a $(-KV_{Spk})$ para luego repetir el ciclo $t_2 = RC \ln\left(1 + 2\frac{R_1}{R_2}\right)$

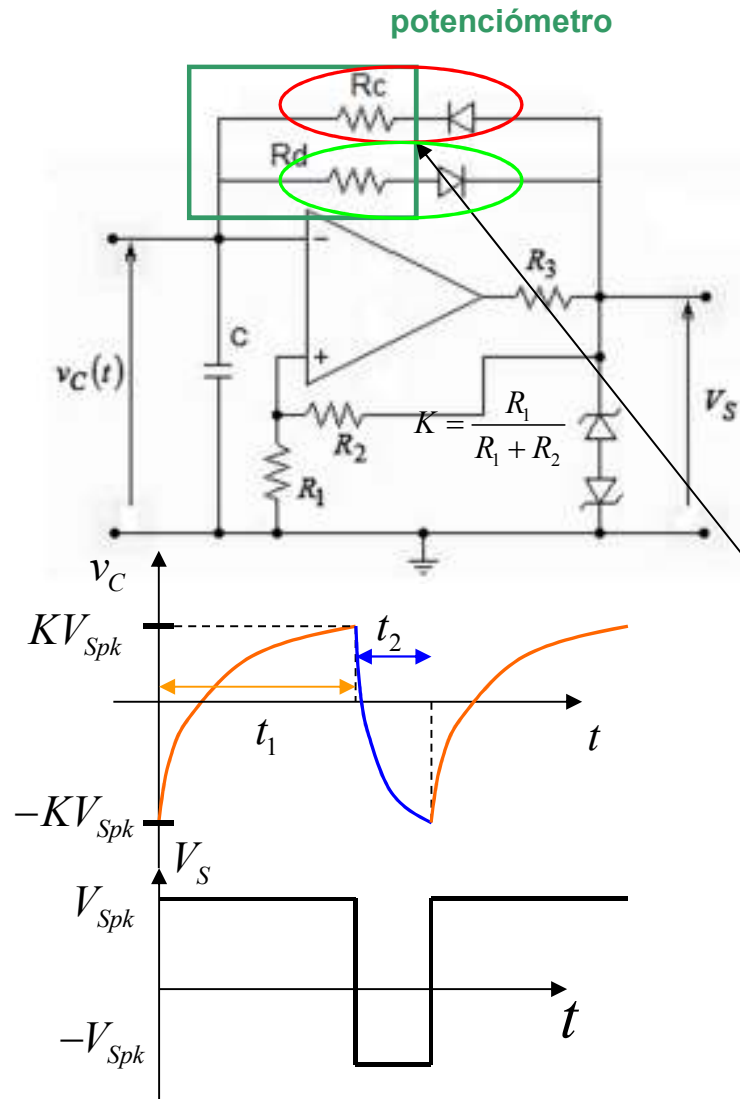
El período total de la oscilación será

$$T = (t_1 + t_2) = 2 \cdot RC \cdot \ln\left(1 + 2\frac{R_1}{R_2}\right)$$



Onda cuadrada con ciclo de trabajo variable

La simetría de la forma de onda anterior se debe a que C se carga y se descarga a través del mismo resistor R



Constante de tiempo de carga: $C.R_c$

Constante de tiempo de descarga: $C.R_d$

Los tiempos de carga y descarga son diferentes

$$t_1 = CR_c \ln \left(1 + \frac{2R_1}{R_2} \right) \quad \text{Y:} \quad t_2 = CR_d \ln \left(1 + \frac{2R_1}{R_2} \right)$$

Y el período

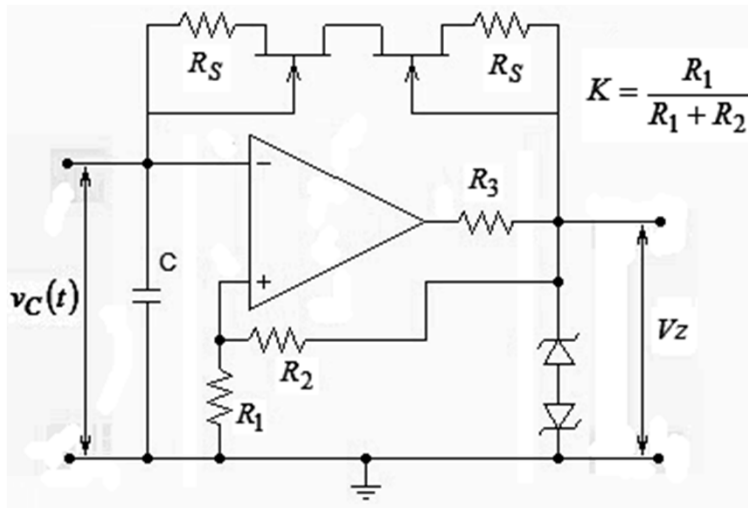
$$T = t_1 + t_2 = C(R_c + R_d) \ln \left(\frac{V_\gamma - (1 + K)V_{Spk}}{V_\gamma - (1 - K)V_{Spk}} \right)$$

Para variar el ciclo de trabajo sin modificar la frecuencia

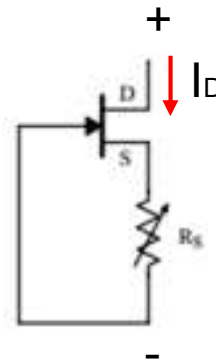
Onda triangular

Oscilador de onda triangular y cuadrada con un solo operacional.

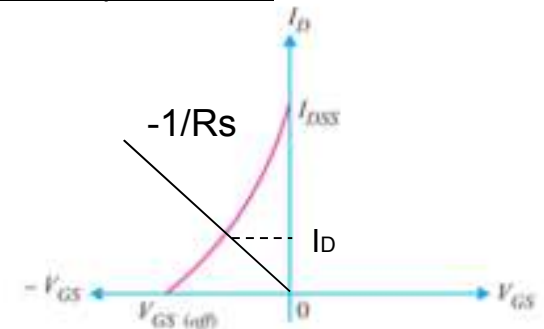
Para generar una onda triangular debemos alimentar al capacitor con una corriente constante, por ejemplo con transistores FET



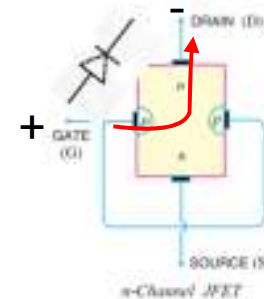
Fuente de corriente constante



Polarización positiva V_{DS}

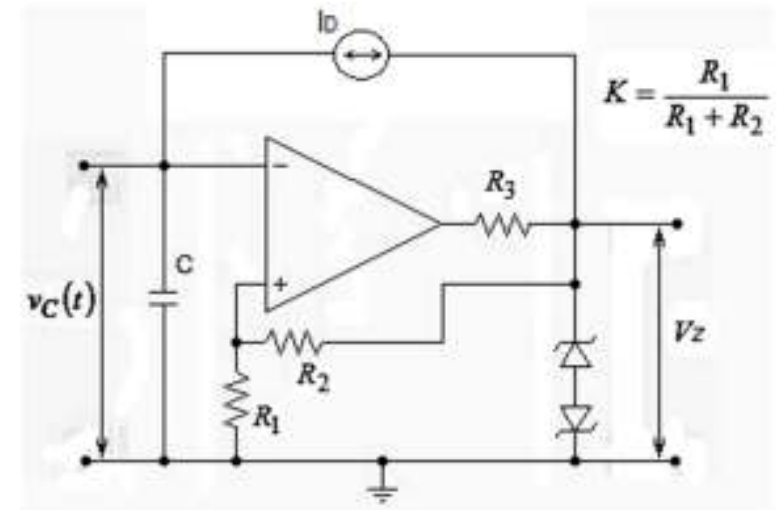
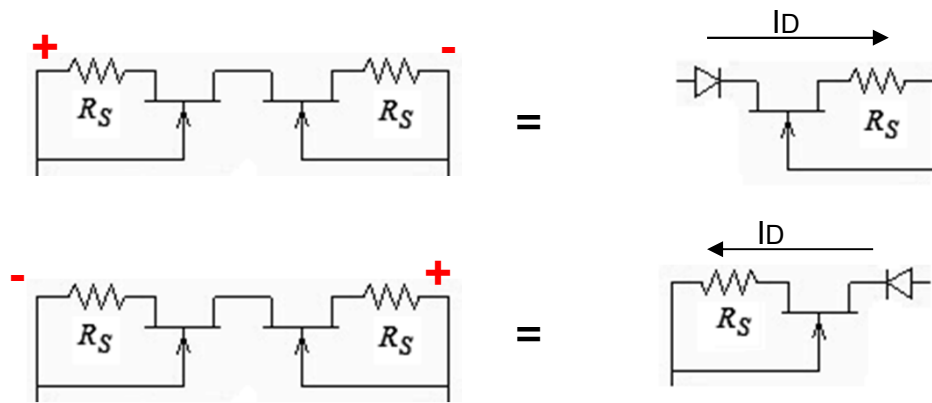


Polarización negativa V_{DS}



Presenta un diodo entre D y S

Onda triangular



Cálculo de la frecuencia de oscilación:

Variación total de carga en el capacitor: $\Delta Q = C \cdot \Delta v_C = I_D \cdot t$

El tiempo t es el que transcurre para cambiar la tensión del capacitor desde $-KV_{Zpk}$ a $+KV_{Zpk}$ ($\Delta v_C = 2KV_{Zpk}$)

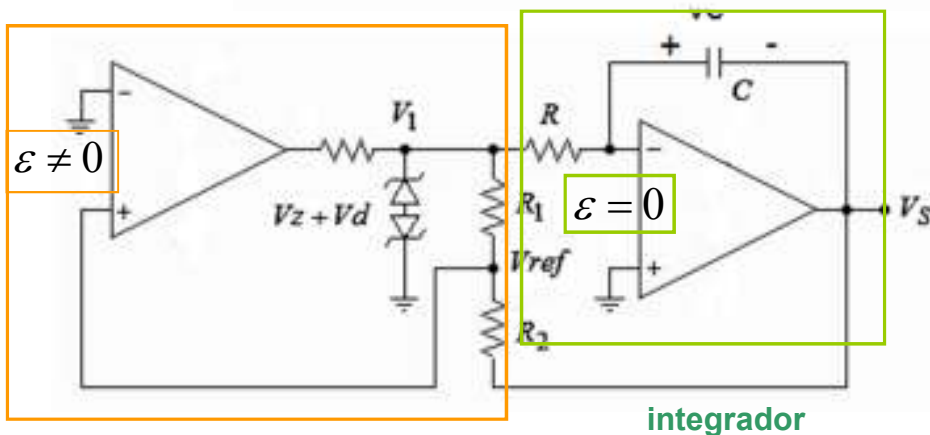
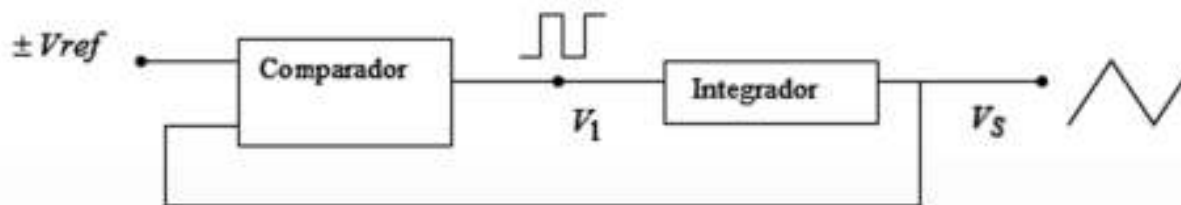
$$t: \text{mitad del período } T \quad \Rightarrow \quad C \cdot (2KV_{Zpk}) = I_D \frac{T}{2} \quad \Rightarrow \quad T = \frac{4KV_{Zpk} C}{|I_D|}$$

Con distintas R_s puedo lograr distintos tiempos de carga y descarga
(pero dependo de la característica del FET)

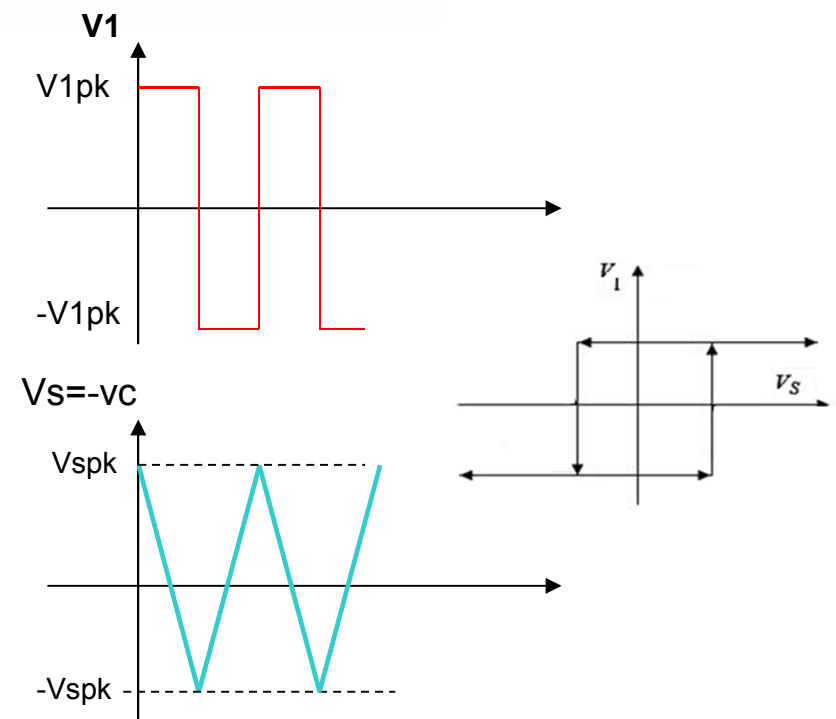
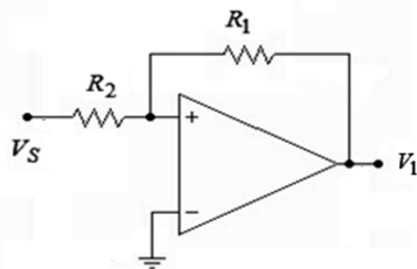
Onda triangular y cuadrada

Independiente de las características de un transistor

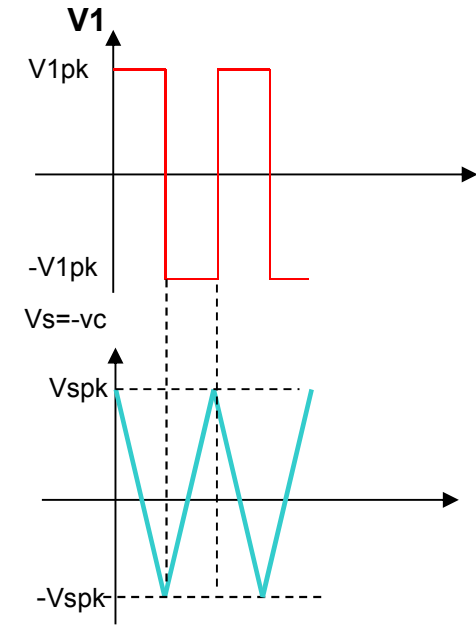
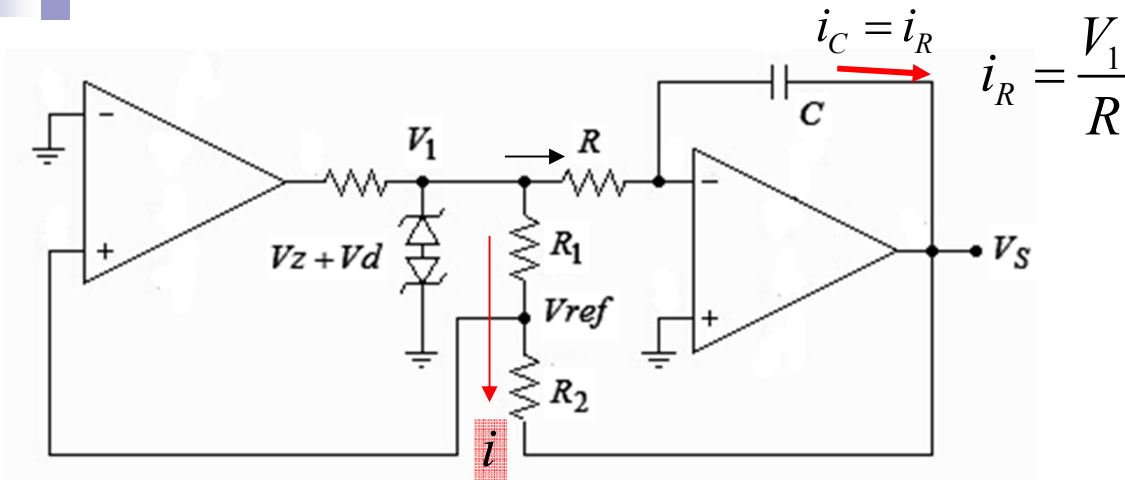
Para linealizar los triángulos se requiere que el capacitor sea cargado mediante una corriente constante, de modo que la tensión en él varíe linealmente con el tiempo



Schmitt no inversor (film. 6)



Onda triangular y cuadrada



Cálculo de la tensión VsPk

El comparador conmutará cuando V_{ref} pase por cero

$$V_{ref} = 0 = V_{1pk} - iR_1 = V_{1pk} - \frac{(V_{1pk} - V_s)}{R_1 + R_2} R_1 = V_{1pk} \left(1 - \frac{R_1}{R_1 + R_2} \right) + \frac{V_s R_1}{R_1 + R_2} \Rightarrow V_{Spk} = -v_C = -\frac{R_2}{R_1} \cdot V_{1pk}$$

Cálculo de la tensión Vref pico

El valor pico de V_{ref} se da cuando $V_1 = +V_{1pk}$ y $V_s = -V_{Spk}$

$$V_{ref_pk} = V_{1pk} - \frac{(V_{1pk} - (-V_{Spk}))}{R_1 + R_2} R_1 = V_{1pk} \left(1 - \frac{R_1}{R_1 + R_2} \right) + \frac{R_2 V_{1pk}}{R_1 + R_2} = \frac{2V_{1pk} R_2}{R_1 + R_2} \Rightarrow V_{ref_pk} = \frac{2V_{1pk} R_2}{R_1 + R_2}$$

Onda triangular y cuadrada

Frecuencia de oscilación

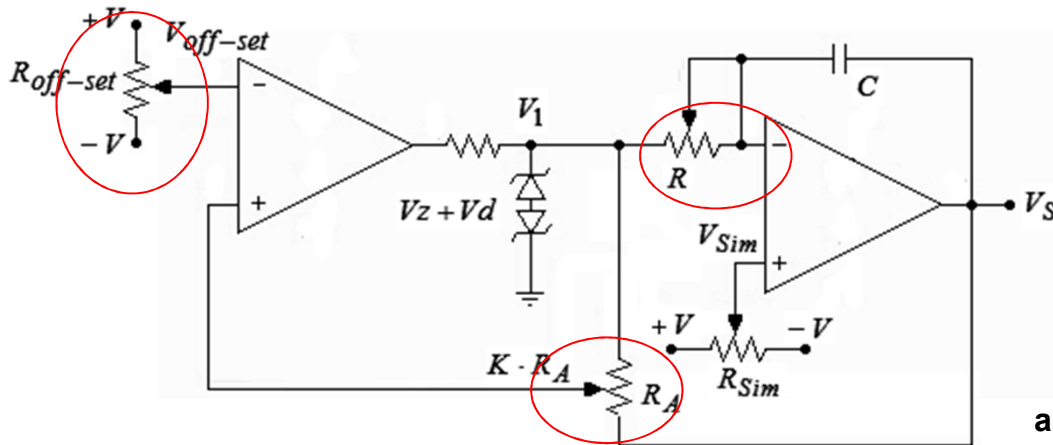
En medio período el capacitor se carga o descarga con una corriente $i_C = V_{1pk} / R$ variando su tensión desde

$$-\frac{R_2}{R_1} V_{1pk} \text{ a } \frac{R_2}{R_1} V_{1pk} \text{ Luego: } \Delta v_C = 2V_{Spk} = 2 \frac{R_2}{R_1} V_{1pk}$$

$$\Delta Q = C \cdot \Delta V \Rightarrow \left(i_C \cdot \frac{T}{2} \right) = C \cdot 2V_{Spk} \Rightarrow \left(\frac{V_{1pk}}{R} \cdot \frac{T}{2} \right) = C \cdot 2 \frac{R_2}{R_1} V_{1pk} \Rightarrow \frac{T}{2R} = 2C \frac{R_2}{R_1}$$

$$f = \frac{1}{T} = \frac{R_1}{R_2} \cdot \frac{1}{4RC}$$

Modificaciones al oscilador de la figura anterior



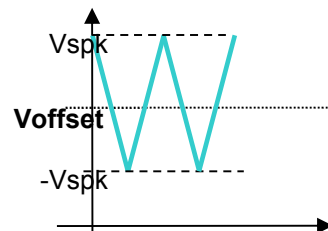
frecuencia variable:

$$f = \frac{1}{T} = \frac{R_1}{R_2} \cdot \frac{1}{4RC}$$

amplitud variable
(sólo de la triangular)

$$V_{Spk} = -v_C = -\frac{R_2}{R_1} \cdot V_{1pk}$$

Nivel variable ($V_{off-set}$) de la triangular



Onda triangular y cuadrada

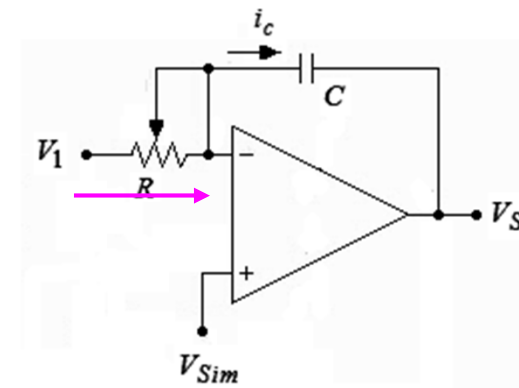
Simetría variable:

El módulo de la pendiente es distinto para la carga que para la descarga

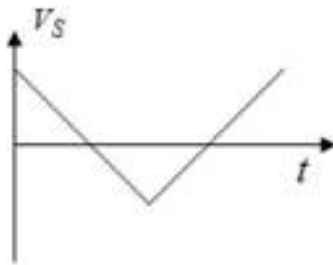
$$i_c = \frac{V_1 - V_{Sim}}{R}$$

$$\frac{\partial V_S}{\partial t} = -\frac{i_c}{C}$$

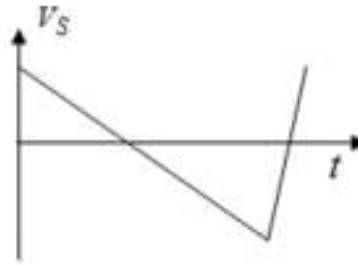
$$\frac{\partial V_S}{\partial t} = -\frac{V_1 - V_{Sim}}{RC}$$



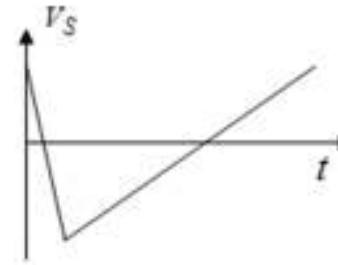
Corriente en R prop. a V1-Vsim



$$V_{sim} = 0$$



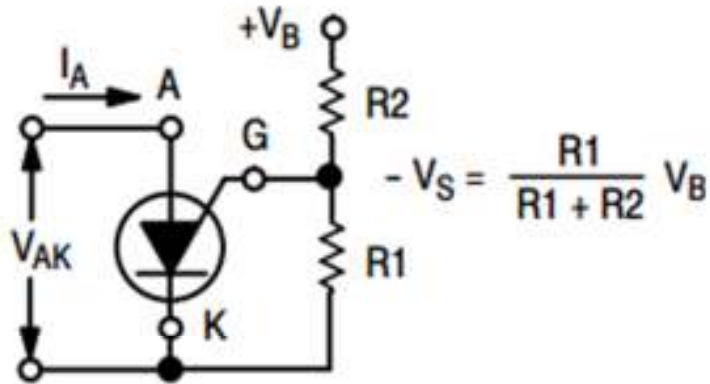
$$V_{sim} > 0$$



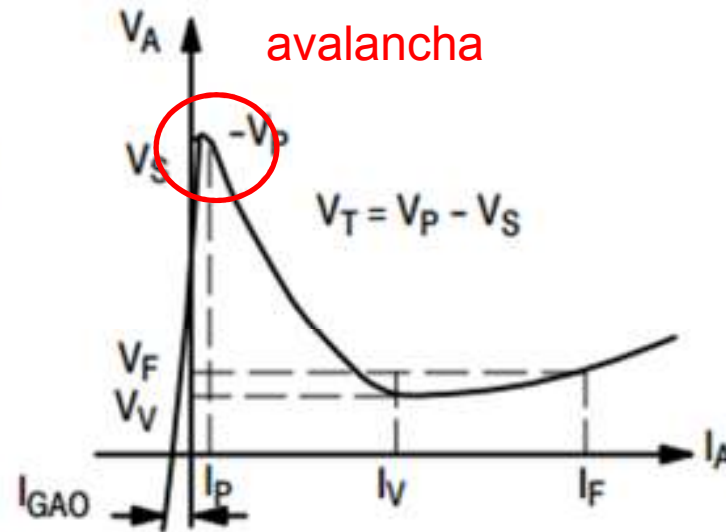
$$V_{sim} < 0$$

Frecuencia variable con una tensión (VCO)

VCO con PUT



1A - Programmable Unijunction
with "Program" Resistors
R1 and R2



IC - Electrical Characteristics

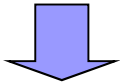
Tiene una característica similar
al DIAC pero la tensión de
ruptura se puede programar

Frecuencia variable con una tensión (VCO)

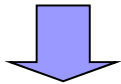
Conversión de Tensión a Frecuencia

1- VCO (Oscilador Controlado Por Tensión)
con transistor unijuntura programable

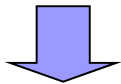
$$Q = C v_C = I_C \cdot t = \frac{V_E}{R} \cdot t$$



$$v_C = t \cdot \frac{V_E}{RC}$$



Cuando v_C alcanza a V_g se dispara el UJT y se descarga el capacitor

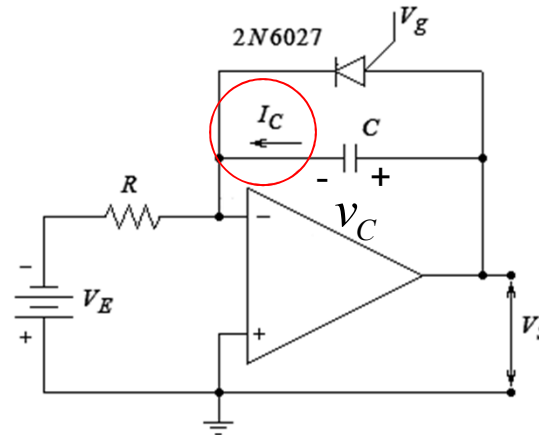


$$V_g = T \frac{V_E}{RC} \Rightarrow f = \frac{1}{T} = \frac{1}{V_g RC} V_E$$

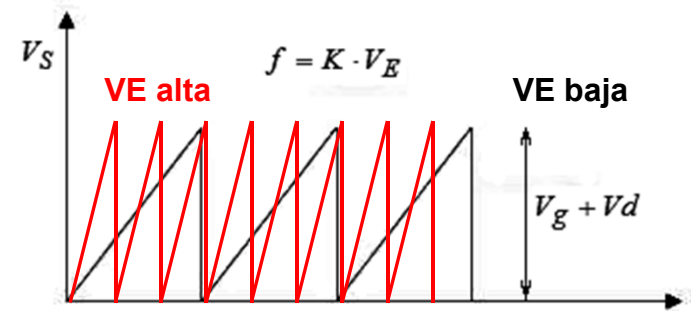


$$f = \frac{V_E}{RCV_g} = kV_E$$

frecuencia proporcional a la tensión de control

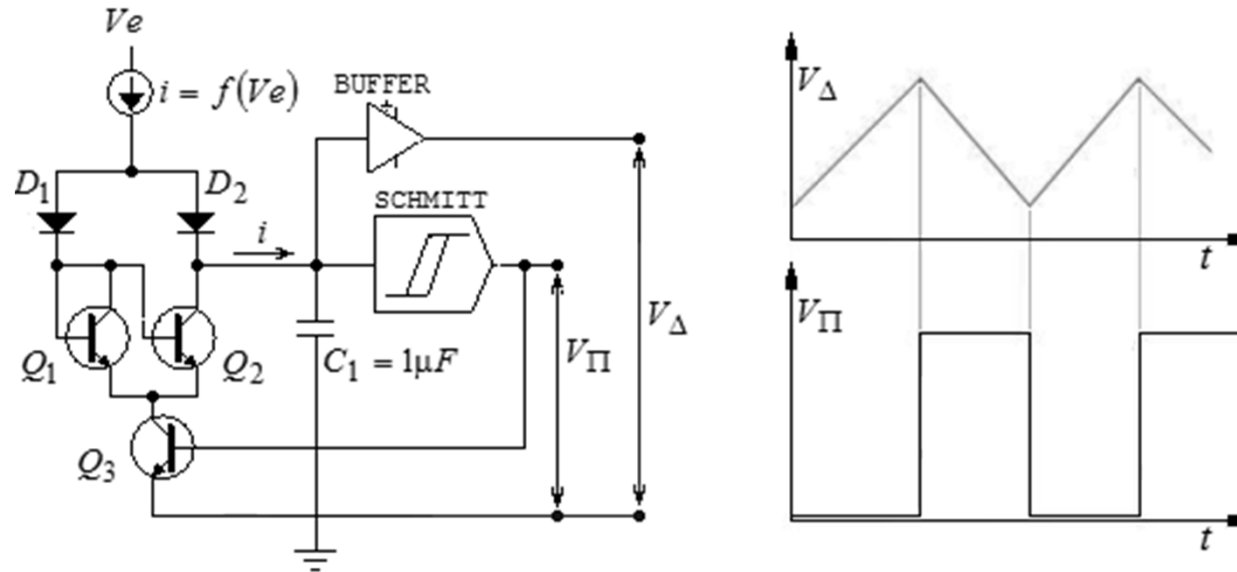


$V_{ak} > V_{gk} \Rightarrow$ Cebado del PUT



Frecuencia variable con una tensión (VCO)

2-VCO Integrado (LM 566)



- Se carga el C a través de D_2 , salida del schmitt en cero y entonces Q_3 cortado
- La tensión de C llega al umbral y se dispara el Schmitt, haciendo conducir a Q_3 , que a su vez hace conducir a Q_1 y Q_2
- La tensión de cátodo de D_1 se pone a masa poniendo a D_1 en directa y al ánodo de D_2 a masa (D_2 queda, en consecuencia abierto debido a que sobre él está aplicada la tensión de C en inversa)
- Por D_1 , Q_1 y Q_3 circula la corriente i de la fuente de corriente
- Como Q_1 y Q_2 conforman un espejo de corriente (V_{BE} idénticas) la corriente por Q_2 = corriente por Q_1 y entonces el capacitor se descarga a través de Q_2 y Q_3 a la misma velocidad a la que se cargó previamente

Síntesis digital directa (DDS)

- Digital vs. analógico
- Simplicidad
- Costo
- Flexibilidad (f variable)
- Frecuencia máxima

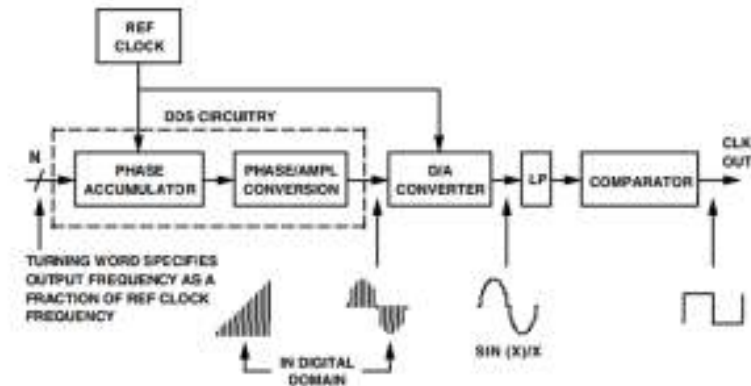


Figure 1. Basic Complete-DDS system block diagram.



<https://www.analog.com/en/analog-dialogue/articles/dds-vs-analog-pll.html>